



## شکل‌گیری گارنت‌های موجود در توده‌ی گرانیتوئیدی دهنو، شمال‌غرب مشهد

مریم فرخی<sup>۱</sup>، سید مسعود همام<sup>\*</sup>، سعید سعادت<sup>۲</sup>

۱- گروه زمین‌شناسی، دانشکده علوم، دانشگاه فردوسی مشهد

۲- گروه زمین‌شناسی، واحد مشهد، دانشگاه آزاد اسلامی، مشهد، ایران

(دریافت مقاله: ۹۳/۳/۱۰، نسخه نهایی: ۹۳/۵/۲۲)

**چکیده:** توده‌ی گرانیتوئیدی دهنو که در شمال‌غرب مشهد، در مجاورت بلافصل با هورنفلس‌های سرشار از گارنت واقع شده است، حاوی درشت بلورهایی از گارنت است که فرصتی را برای بررسی پدیده‌ی آرایش ماگما با سنگ‌های دیواره فراهم کرده است. بلورهای گارنت حاوی میانبرهای فراوانی بوده که نشان‌دهنده‌ی فازهای آذرین هستند و به‌صورت دوائر متحد‌المركز درون بلور آرایش یافته‌اند. حاشیه‌ی سرشار از بیوتیت و هورنبلند در پیرامون بلورهای گارنت نشان می‌دهد که این گارنت‌ها در تعادل با ماگمای میزبان نشان نبوده و به‌وسیله‌ی فازهای فرومنیزین ماگمای گرانیتی جایگزین شده‌اند. به‌دلیل این که ماگمای شبه‌رخشانی تشکیل دهنده‌ی گرانیتوئیدهای منطقه، آلومینیوم کافی برای تشکیل و پایداری گارنت را ندارد. به نظر می‌رسد که بلورهای گارنت در منطقه‌ی مورد بررسی، بلورهای پرتیکتی هستند که نخست در سنگ میزبان وجود نداشته و فرآورده‌های ذوب نامتجانس زینوکریست‌ها و زینولیت‌های مشتق شده از سنگ‌های دیواره هستند.

**واژه‌های کلیدی:** توده‌ی گرانیتوئیدی؛ دهنو؛ آرایش؛ بلورهای پرتکتیک.

### مقدمه

برخی دیگر نیز در گرانیت‌های نوع A دیده می‌شوند که در محیط‌های کشتی یا غیر کوهزایی تشکیل شده‌اند [۹]. موضوع بحث برانگیزی که در سنگ‌زایی گرانیت‌های گارنت‌دار وجود دارد، خاستگاه گارنت موجود در آن‌هاست. گارنت می‌تواند با خاستگاه‌های متفاوتی در ماگماهای گرانیتی وجود داشته باشد. برخی از گارنت‌ها به‌صورت فنوکریست (اولیه) [۱۰] بوده و برخی دیگر دارای خاستگاه زینوکریست [۱۱، ۱۲] هستند. علاوه بر این گارنت‌ها می‌توانند به‌عنوان یک فاز مقاوم باقی مانده [۱۳] و یا یک محصول ثانویه [۱۴، ۱۵] در گرانیت‌ها حضور داشته باشند.

توده‌ی گرانیتوئیدی دهنو که در شمال‌غرب مشهد در مجاورت بلافصل با هورنفلس‌های سرشار از گارنت واقع شده

کانی‌های گروه گارنت بسیار فراوان و گسترده بوده و به‌عنوان یک کانی معمول در سنگ‌های دگرگون شناخته می‌شوند. به‌طور پراکنده در سنگ‌های آذرین نیز یافت می‌شوند. گارنت‌های آذرین اغلب در پگماتیت‌ها و دایک‌های آپلیتی تشکیل می‌شوند [۲۰، ۲۱]. برخی از گرانیتوئیدهای پرآلومینوس بسیار فلیسک ( $\text{SiO}_2 \geq 70\%$ )، نیز حاوی گارنت هستند [۳، ۴]. بیشتر گرانیت‌های سرشار از گارنت از نوع S بوده که از ذوب بخشی سنگ‌های رسوبی دگرگون شده‌ی پوسته حاصل شده‌اند [۵، ۶]. تعداد کمی از گرانیتوئیدهای سرشار از گارنت، خاستگاه پیچیده‌تری را نسبت به گرانیت‌های نوع S دارند. برخی از آن‌ها گرانیتوئیدهای نوع I هستند که دستخوش جدایش یا آلودگی غیرعادی شده‌اند و در کمان‌های آتشفشانی دیده شده‌اند [۷، ۸].

\* نویسنده مسئول، تلفن-نمبر: ۰۵۱۳-۸۷۹۷۲۷۵، پست الکترونیکی: homam@um.ac.ir

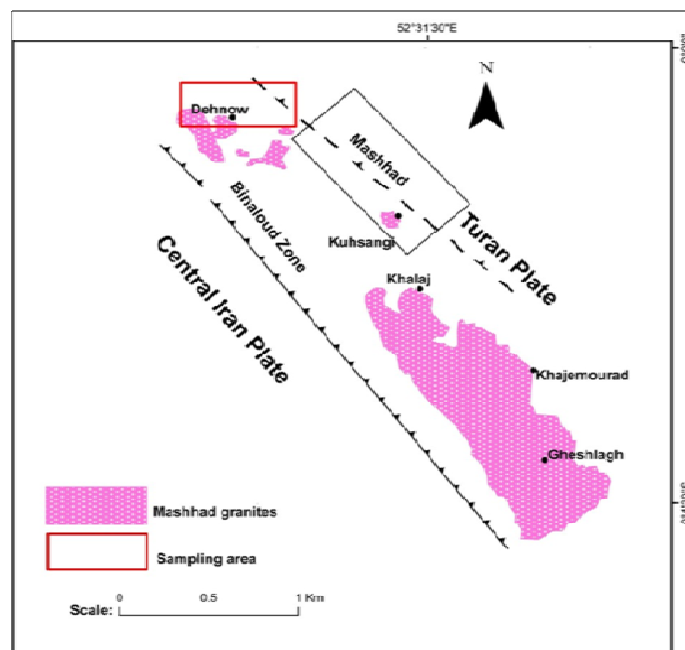
های دگرگون در دامنه‌ی شمالی این رشته کوه رخنمون یافته است. سنگ‌ها در این مجموعه بنابر نقشه‌ی ۱/۱۰۰۰۰۰ مشهد [۱۸]، تا رخساره‌ی شیست سبز دگرگون شده و مورد نفوذ توده‌های گرانیتوئیدی قرار گرفته‌اند.

در جنوب و جنوب‌غربی مشهد تا شمال دشت تربت جام، برونزدهای ناپیوسته‌ای از توده‌های گرانیتوئیدی دیده می‌شوند. یقیناً این توده‌های گرانیتوئیدی که در یک راستای تقریبی شمال‌غربی - جنوب‌شرقی آرایش یافته‌اند، بخش‌های مرتفع یک باتولیت بسیار بزرگ هستند که بخش‌هایی از آن هنوز رخنمون نیافته‌اند [۱۹]. توده‌ی گرانیتوئیدی دهنو یکی از قدیمی‌ترین توده‌های نفوذی در شمال‌غرب مشهد است که به درون سنگ‌های دگرگون ناحیه‌ای مشتمل بر فیلیت‌ها، اسلیت‌ها و میکاشیست‌ها نفوذ کرده‌اند. [۲۰] با تعیین سن مطلق به روش U-Pb، سن  $215 \pm 4$  میلیون سال (معادل تریاس پسین-نورین) را برای توده‌ی نفوذی دهنو ارائه کرده است. نفوذ این توده در سنگ‌های ساد شده منجر به تشکیل یک هاله‌ی دگرگونی مجاورتی با گستردگی حدود ۳۰۰ متر در اطراف توده‌ی نفوذی شده است. گارنت‌های درشت دانه، کانی فراوان در این هاله‌ی دگرگونی مجاورتی هستند. این توده‌ی گرانیتوئیدی در حاشیه‌ی خود با هورنفلس‌ها، حاوی درشت بلورهایی از گارنت است. بررسی‌های صحرایی انجام شده در گستره‌ای به مساحت ۶ کیلومتر نشان داد که به سمت مرکز توده‌ی نفوذی اثری از این بلورهای گارنت مشاهده نمی‌شود (شکل ۲).

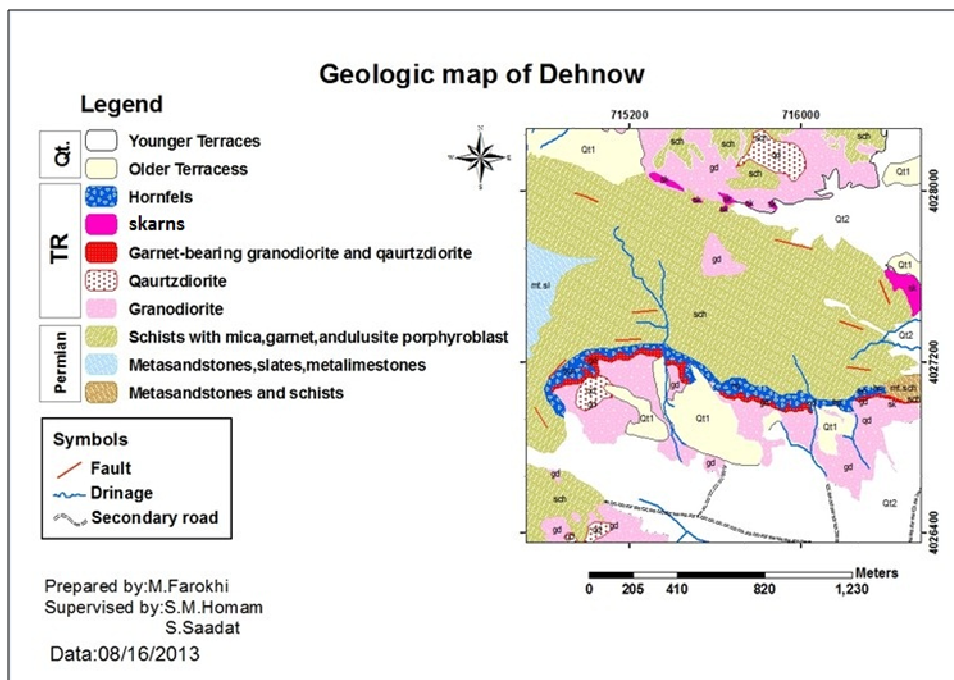
است، حاوی درشت بلورهایی از گارنت است. در کمتر جای ایران، توده‌های گرانیتوئیدی با چنین بلورهای درشتی از گارنت دیده شده‌اند. [۱۶] این گارنت‌ها را زینوکریست‌هایی معرفی کردند که خاستگاه تصادفی داشته و طی هضم سنگ‌های دگرگون سرشار از گارنت، به‌وجود آمده‌اند. [۱۷] این گارنت‌ها را جزء فرعی توده‌ی نفوذی در نظر گرفته و آن‌ها را حاصل تبلور از خود مذاب تونالیتی دانسته‌اند. بدین ترتیب اتفاق نظر کاملی در ارتباط با خاستگاه گارنت‌های موجود در گرانیت‌های دهنو وجود ندارد، در این مقاله، ضمن بررسی کلیه‌ی شواهد صحرایی، بافتی و شیمیایی، به ارائه‌ی ایده‌ی جدید در خصوص خاستگاه گارنت‌های موجود در گرانیت‌های دهنو خواهیم پرداخت.

### زمین‌شناسی منطقه

منطقه‌ی مورد بررسی در ۱۵ کیلومتری شمال‌غرب مشهد در استان خراسان رضوی واقع شده است. این ناحیه در گستره‌ی زیر منطقه‌ی ساختاری بینالود و در راستای شرقی البرز، در حد فاصل طول‌های جغرافیایی  $59^{\circ} 23' 37''$  تا  $59^{\circ} 24' 56''$  شرقی و عرض‌های جغرافیایی  $36^{\circ} 21' 59''$  تا  $36^{\circ} 22' 23''$  شمالی قرار گرفته است (شکل ۱). رشته‌کوه بینالود بخشی از کمربند کوهزایی البرز در نظر گرفته می‌شود که در مورد سیر زمین ساختی آن، تصور بر این است که این رشته‌کوه در نتیجه‌ی فروانش به سمت شمال پالتوتیس و برخورد بعدی خرد قاره‌ی ایران مرکزی با ورقه‌ی توران به‌وجود آمده است. مجموعه دگرگونی - افیولیتی مشهد به‌صورت نواری از سنگ-



شکل ۱ گستره‌ی ساختاری اصلی در شمال‌شرقی ایران و موقعیت منطقه‌ی مورد بررسی.



شکل ۲ نقشه‌ی زمین‌شناسی منطقه‌ی مورد بررسی.

### روش پژوهش

در راستای دستیابی به هدف‌های مورد نظر، علاوه بر بررسی‌های دقیق صحرایی و میکروسکوپی، تعدادی از نمونه‌های گرانیتوئیدی گارنت‌دار و بدون گارنت که کمترین میزان دگرسانی را نشان می‌دادند، برای آنالیز شیمیایی به روش XRF انتخاب شدند. آنالیز در آزمایشگاه کانساران بینالود مشهد انجام

شد. همچنین برای پی بردن به نوع و ترکیب گارنت، گارنت‌های موجود در توده‌ی نفوذی و هورنفلس‌های منطقه‌ی مورد بررسی ریزپردازشی با Horiba XGT-7200 شرکت کانساران بینالود تهران قرار گرفتند. نتایج آنالیز به ترتیب در جدول‌های (۱-۳) ارائه شده‌اند.

جدول ۱ آنالیزهای شیمیایی XRF از اکسیدهای اصلی توده گرانیتوئیدی منطقه برحسب درصد وزنی (%Wt).

شماره نمونه	G90	G194	G196	G88	G170
SiO <sub>2</sub>	۵۶٫۴۸	۵۶٫۷۶	۵۹٫۵۸	۵۷٫۱۵	۶۱٫۵۸
TiO <sub>2</sub>	۰٫۹۶	۰٫۸۹	۰٫۷۶	۰٫۸۸	۰٫۷۰
Al <sub>2</sub> O <sub>3</sub>	۱۶٫۵۸	۱۶٫۴۴	۱۶٫۴۲	۱۷٫۳۹	۱۵٫۵۷
Fe <sub>2</sub> O <sub>3</sub>	۸٫۳۱	۸٫۲۰	۷٫۳۳	۷٫۸۲	۶٫۶۶
MnO	۰٫۱۵	۰٫۱۶	۰٫۱۴	۰٫۱۱	۰٫۱۴
MgO	۳٫۲۰	۳٫۷۸	۳٫۱۲	۳٫۰۱	۲٫۸۱
CaO	۷٫۳۹	۵٫۵۱	۵٫۵۸	۶٫۷۴	۵٫۱۷
Na <sub>2</sub> O	۲٫۳۶	۲٫۴۷	۲٫۳۵	۲٫۴۱	۲٫۲۹
K <sub>2</sub> O	۲٫۴۹	۳٫۴۴	۲٫۸۶	۲٫۴۷	۲٫۸۸
P <sub>2</sub> O <sub>5</sub>	۰٫۳۷	۰٫۳۱	۰٫۲۴	۰٫۴۷	۰٫۲۷
LOI	۱٫۴۹	۱٫۸۲	۱٫۴۱	۱٫۳۰	۱٫۷۳
Total	۹۹٫۷۸	۹۹٫۷۸	۹۹٫۷۹	۹۹٫۷۵	۹۹٫۱۷

ادامه جدول ۱ آنالیزهای شیمیایی XRF از عناصر فرعی توده گرانیتوئیدی منطقه برحسب (ppm).

شماره نمونه	G90	G194	G196	G88	G170
Ba	۳۹۹	۴۸۳	۴۴۷	۴۴۵	۴۱۷
Co	۲۵	۲۷	۲۴	۲۹	۲۲
Cr	۳۰	۳۸	۶۵	۲۶	۲۰
Nb	۱۹	۲۰	۲۵	۲۲	۱۷
Th	۳۸	۲۵	۳۸	۲۱	۱۲
Ce	۹۷	۲۸	۶۱	۸۰	۶۸
Rb	۹۶	۱۱۳	۱۱۵	۸۳	۱۱۸
Sr	۶۷۱	۶۴۹	۵۶۲	۷۶۱	۵۹۴
V	۱۵۰	۱۵۱	۱۲۶	۱۳۷	۱۱۳
Y	۱۶	۲۰	۱۸	۱۵	۱۸
Zr	۲۳۰	۲۱۷	۲۲۲	۲۶۸	۲۴۲
Mo	۱۵	۲۳	۱۶	۲۴	۲۲

جدول ۲ ترکیب عناصر اصلی و اعضای نهایی از گارنت‌های موجود در گرانیتوئیدها.

شماره نمونه	Grt90			Grt194			Grt214		
	Intermediate Rim	Core		Rim	Intermediate Core		Rim Core	Intermediate	
SiO <sub>2</sub>	۴۲٫۶۱	۴۳٫۱۶	۴۶٫۵۸	۴۳٫۰۹	۴۳٫۹۱	۴۳٫۱۷	۴۱٫۱۳	۴۱٫۵۸	۴۱٫۶۱
TiO <sub>2</sub>	۰٫۲۸	۰٫۰۰	۰٫۰۰	۰٫۱۹	۰٫۲۸	۰٫۲۷	۰٫۴۱	۰٫۴۱	۰٫۳۴
Al <sub>2</sub> O <sub>3</sub>	۱۸٫۹۹	۱۹٫۷۴	۲۲٫۹۰	۱۹٫۳۲	۱۸٫۷۷	۱۹٫۴۲	۱۹٫۱۱	۱۷٫۸۸	۱۸٫۱۹
FeO	۲۵٫۳۷	۲۴٫۶۹	۱۶٫۹۹	۲۴٫۴۲	۲۴٫۴۰	۲۵٫۰۸	۲۷٫۷۸	۲۸٫۳۰	۲۸٫۱۳
MnO	۲٫۵۹	۲٫۳۹	۱٫۸۰	۲٫۴۱	۲٫۳۵	۱٫۹۳	۲٫۳۷	۲٫۱۱	۲٫۷۳
MgO	۴٫۸۶	۴٫۲۰	۲٫۱۸	۴٫۱۷	۳٫۷۶	۴٫۷۸	۲٫۷۲	۲٫۷۳	۲٫۴۶
CaO	۵٫۲۲	۵٫۴۴	۷٫۴۴	۵٫۶۱	۵٫۳۸	۵٫۲۱	۶٫۳۷	۶٫۵۱	۶٫۴۷
Total	۹۹٫۹۲	۹۹٫۶۲	۹۷٫۸۹	۹۹٫۲۱	۹۸٫۸۵	۹۹٫۸۶	۹۹٫۸۹	۹۹٫۵۲	۹۹٫۹۳
<b>Cations based on 12 Oxygens</b>									
Si	۳٫۳۶۰	۳٫۴۱۲	۳٫۷۰۷	۳٫۴۲۳	۳٫۵۱۳	۳٫۴۰۰	۳٫۲۸۸	۳٫۳۴۴	۳٫۳۲۷
Ti	۰٫۰۱۷	۰٫۰۰	۰٫۰۰	۰٫۰۱۱	۰٫۰۱۷	۰٫۰۱۶	۰٫۰۲۵	۰٫۰۲۵	۰٫۰۲۱
Al	۱٫۷۶۵	۱٫۸۳۹	۲٫۱۴۸	۱٫۸۰۹	۱٫۱۷۷	۱٫۸۰۳	۱٫۸۰۰	۱٫۶۹۵	۱٫۷۲۰
Fe	۱٫۶۷۳	۱٫۶۳۲	۱٫۱۳۱	۱٫۶۲۳	۱٫۶۳۲	۱٫۶۵۲	۱٫۸۵۷	۱٫۹۰۴	۱٫۸۸۷
Mn	۰٫۱۷۳	۰٫۱۶۰	۰٫۱۲۱	۰٫۱۶۲	۰٫۱۵۹	۰٫۱۲۹	۰٫۱۶۰	۰٫۱۴۴	۰٫۱۸۵
Mg	۰٫۵۷۱	۰٫۴۹۵	۰٫۲۵۹	۰٫۴۹۴	۰٫۴۴۸	۰٫۵۶۱	۰٫۳۲۴	۰٫۳۲۷	۰٫۲۹۴
Ca	۰٫۴۴۱	۰٫۴۶۱	۰٫۶۳۴	۰٫۴۷۸	۰٫۴۶۱	۰٫۴۴۰	۰٫۵۶۴	۰٫۵۶۱	۰٫۵۵۶
<b>End – member compositions</b>									
Alm	۵۸٫۵۳	۵۹٫۴۰	۵۲٫۷۱	۵۸٫۸۷	۶۰٫۴۳	۵۹٫۳۹	۶۴٫۳۲	۶۴٫۸۴	۶۴٫۵۶
Prp	۱۹٫۹۹	۱۸٫۰۱	۱۲٫۰۶	۱۷٫۹۲	۱۶٫۶۰	۲۰٫۱۸	۱۱٫۲۳	۱۱٫۱۵	۱۰٫۰۶
Grs	۱۵٫۲۹	۱۶٫۷۷	۲۹٫۵۷	۱۷٫۲۲	۱۶٫۹۱	۱۵٫۶۷	۱۸٫۶۴	۱۸٫۸۳	۱۸٫۸۰
Spess	۶٫۰۵	۵٫۸۲	۵٫۶۶	۵٫۸۸	۵٫۸۹	۴٫۶۳	۵٫۵۶	۴٫۹۰	۶٫۳۵



جدول ۳ ترکیب عناصر اصلی و اعضای نهایی گارنت های موجود در هورنفلس ها.

شماره نمونه	Grt210			Grt220		
	Rim	Intermediate	Core	Rim	Intermediate	Core
SiO <sub>2</sub>	۴۲٫۲۷	۴۱٫۴۲	۴۲٫۱۳	۴۰٫۰۷	۴۰٫۰۳	۳۹٫۷۲
TiO <sub>2</sub>	۰٫۲۳	۰٫۰۶	۰٫۰۱	۰٫۰۲	۰٫۰۵	۰٫۰۱
Al <sub>2</sub> O <sub>3</sub>	۱۹٫۳۶	۱۹٫۸۱	۲۰٫۱۰	۱۹٫۷۸	۱۹٫۴۱	۱۹٫۳۰
FeO	۳۱٫۶۱	۳۱٫۹۷	۳۱٫۹۰	۳۲٫۸۸	۳۳٫۹۸	۳۴٫۰۶
MnO	۴٫۰۲	۳٫۹۵	۳٫۵۸	۲٫۲۸	۲٫۳۷	۲٫۲۳
MgO	۱٫۸۹	۱٫۸۹	۱٫۷۴	۲٫۶۶	۲٫۳۹	۲٫۶۵
CaO	۰٫۴۹	۰٫۴۹	۰٫۴۷	۱٫۱۴	۱٫۳۴	۱٫۰۹
Total	۹۹٫۸۷	۹۹٫۵۹	۹۹٫۹۳	۹۸٫۸۳	۹۹٫۵۷	۹۹٫۰۶
<b>Cations based on 12 Oxygens</b>						
Si	۳٫۴۳۵	۳٫۳۷۳	۳٫۴۱۷	۳٫۲۷۱	۳٫۲۵۶	۳٫۲۴۴
Ti	۰٫۰۱۴	۰٫۰۰۴	۰٫۰۰۱	۰٫۰۰۱	۰٫۰۰۳	۰٫۰۰۱
Al	۱٫۸۵۴	۱٫۹۰۱	۱٫۹۲۱	۱٫۹۰۳	۱٫۸۶۰	۱٫۸۵۸
Fe	۲٫۱۴۸	۲٫۱۷۷	۲٫۱۶۴	۲٫۲۴۴	۲٫۳۱۱	۲٫۳۲۶
Mn	۰٫۲۷۷	۰٫۲۷۲	۰٫۲۶۴	۰٫۱۵۸	۰٫۱۶۳	۰٫۱۵۴
Mg	۰٫۲۲۹	۰٫۲۲۹	۰٫۲۱۰	۰٫۳۲۴	۰٫۲۹۰	۰٫۳۲۳
Ca	۰٫۰۴۳	۰٫۰۴۳	۰٫۰۴۱	۰٫۱۰۰	۰٫۱۱۷	۰٫۰۹۵
<b>End – member compositions</b>						
Alm	۷۹٫۶۷	۷۹٫۹۹	۸۱٫۳۲	۷۹٫۴۴	۸۰٫۲۲	۸۰٫۲۶
Prp	۸٫۴۹	۸٫۴۳	۷٫۹۱	۱۱٫۴۶	۱۰٫۰۶	۱۱٫۱۳
Grs	۱٫۵۷	۱٫۵۷	۱٫۵۳	۳٫۵۳	۴٫۰۵	۳٫۲۹
Spess	۱۰٫۲۶	۱۰٫۰۱	۹٫۲۴	۵٫۵۸	۵٫۶۷	۵٫۳۲

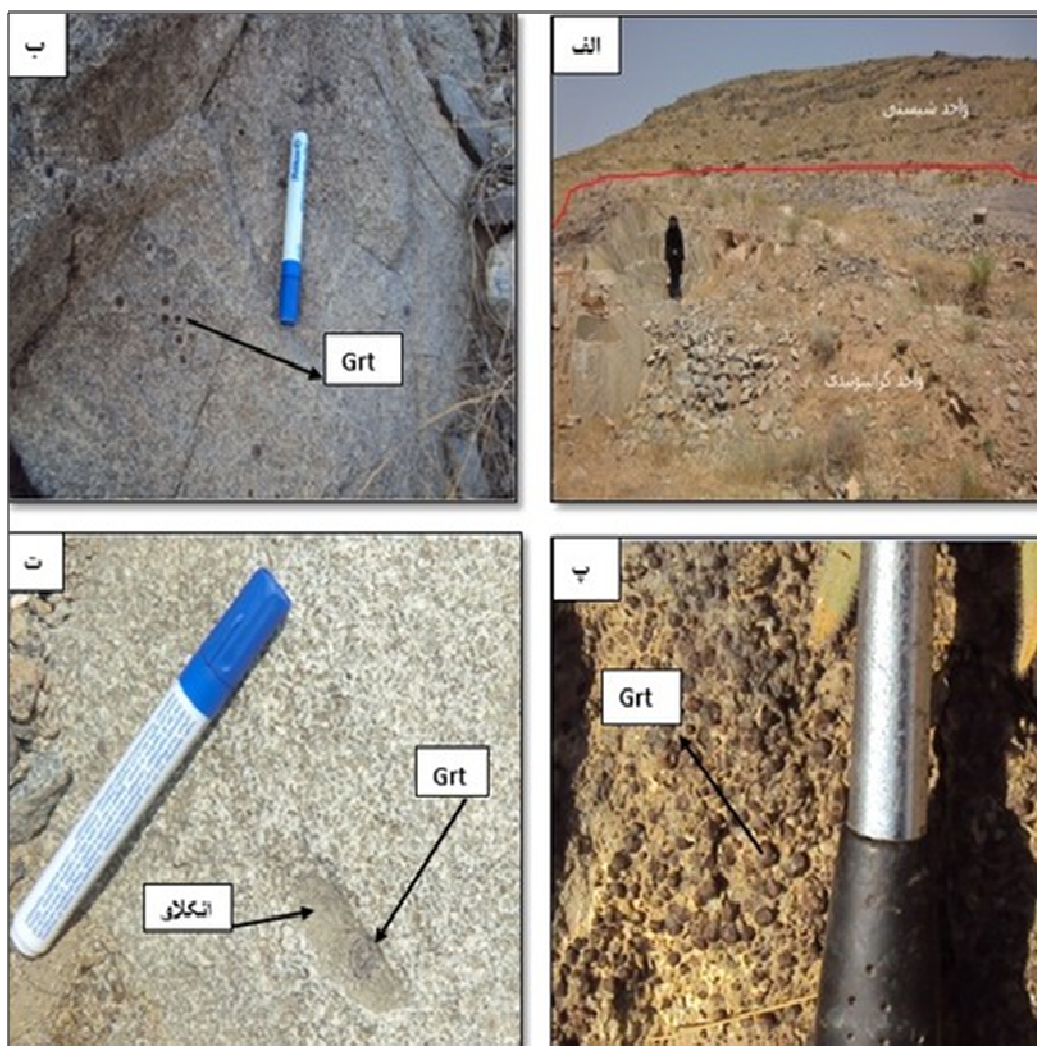
## سنگ نگاری سنگ های مورد بررسی

بر اساس بررسی های صحرایی، سنگ نگاری و نیز بنابر رده بندی - های کانی شناسی، توده ی نفوذی دهنو از دو واحد تونالیتی و گرانودیوریتی تشکیل شده است که مرز مشخصی بین این واحدها وجود ندارد و در کل آن ها را سنگ های گرانیتوئیدی دهنو نام گذاری کرده اند. این توده ی گرانیتوئیدی با رنگ خاکستری روشن و بافت دانه ای، در سنگ های دگرگونی ناحیه - ای مشتمل بر فیلیت ها، اسلیت ها و میکاشیست ها و نیز در سنگ های کربناتی جایگیری کرده است [۲۱] (تصویر ۱). وجود زبانه هایی از توده ی نفوذی در سنگ میزبان و نیز مشاهده ی تبدیل شدن بافت های شیستی به بافت های هورنفلسی در مقاطع میکروسکوپی، هورنفلس ها معرف مرز دگرگونی مجاورتی و گسله نبودن آن هستند.

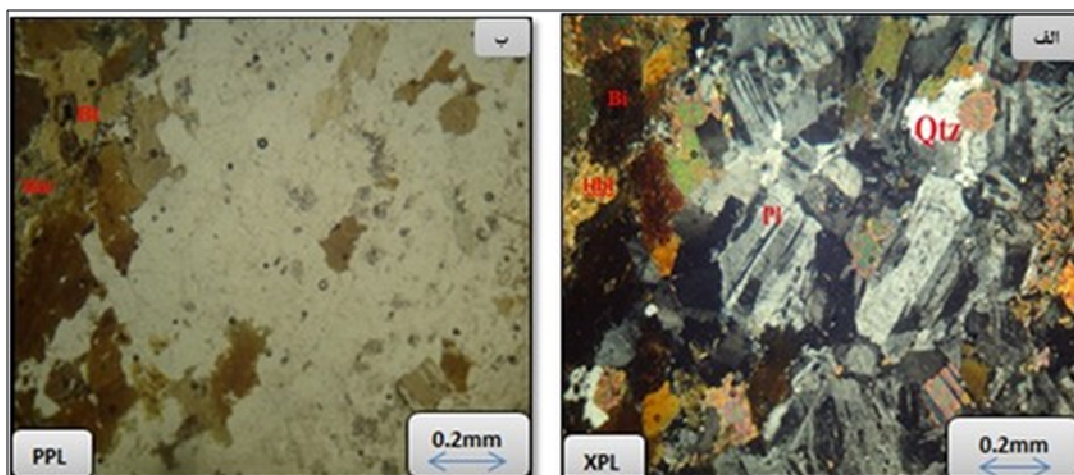
بررسی های ریزپردازشی سنگ های خارانما نشان دادند که این سنگ ها دارای بافت هیپایدیومورف گرانولار و پوئی بوده و

ترکیبی از هورنبلند بیوتیت گرانودیوریت تا تونالیت تشکیل شده اند. کوارتز، پلاژیوکلاز، ارتوز، بیوتیت، هورنبلند کانی های اصلی و زیرکن، آپاتیت، اسفن و اکسیدهای آهن کانی های فرعی این سنگ ها را تشکیل می دهند (تصویر ۲). در این سنگ ها برونوم های ریز دانه ای حدواسط تا مافیک و بلورهای گارنت به چشم می خورند که خاستگاه بلورهای گارنت در این مقاله مورد بحث و بررسی قرار گرفته اند.

نزدیک به توده ی نفوذی، هورنفلس های سیاه رنگی وجود دارند که در بررسی های میکروسکوپی معلوم شد که دارای بافتی از سنگ های دگرگون با پورفایروبلاستی بوده و بقایایی از شیستوزیته موجود در میکاشیست های میزبان توده ی نفوذی را نشان می دهند. کانی های موجود در این دسته از سنگ های مورد بررسی عبارتند از کوارتز، بیوتیت، مسکویت، فیبرولیت، آندالوزیت، کلریت، زیرکن و اکسیدهای آهن به همراه پورفایروبلاست های نیمه شکل دار تا شکل دار گارنت است.



تصویر ۱ الف) مرز بین واحد گرانیتوئیدی و واحد شیستی منطقه، ب) گرانیتوئید حاوی درشت بلورهای گارنت، پ) چگونگی حضور گارنت در هورنفلس‌های مجاور گرانیت، ت) برونوم ریز دانه حدواسط تا مافیک حاوی گارنت.



تصویر ۲ تصویر مقطع میکروسکوپی گرانیتوئیدهای منطقه؛ الف) کوارتز، پلاژیوکلاز، بیوتیت و هورنبلند در نور XPL ب) بیوتیت و هورنبلند در نور PPL.

## زمین‌شیمی توده‌ی نفوذی

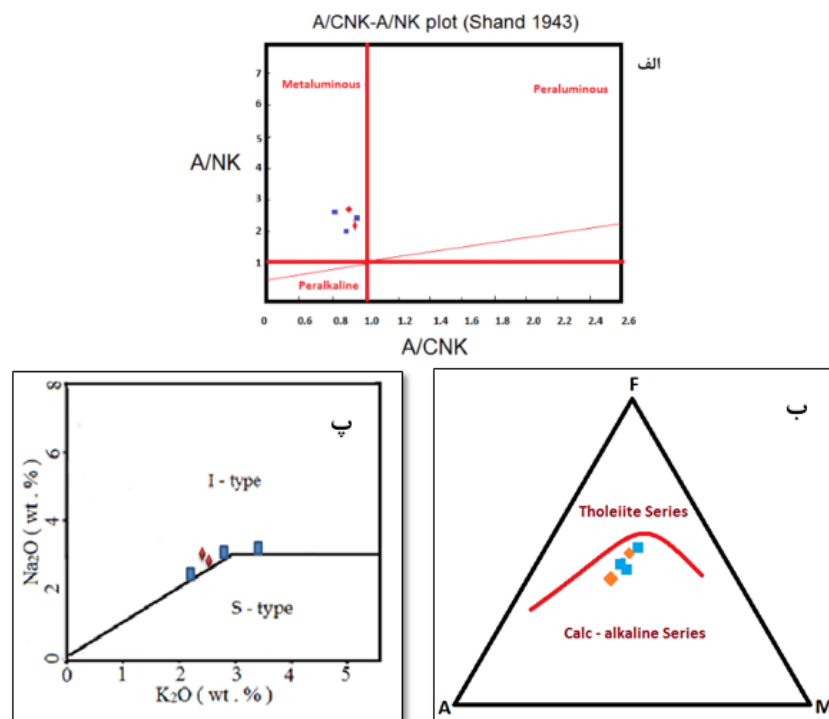
توده‌ی گرانیتوئیدی دهنو تاکنون توسط بسیاری از پژوهشگران مورد بررسی قرار گرفته است. [۲۲] بر اساس آنالیز عناصر اصلی و فرعی معلوم شد که گرانودیوریت‌ها و تونالیت‌ها شبه رخشان بوده و در گستره‌ی گرانیت‌های نوع I قرار می‌گیرند و ماگما از نوع کلسیک و شبه قلیایی است. بررسی‌های ژئوشیمیایی [۱۷] و داده‌های ایزوتوپی [۲۳] تأیید می‌کنند که توده‌ی نفوذی دهنو از نوع شبه رخشان با سرشتی آهکی-قلیایی نوع I است. [۲۴] گارنت‌های دارای میزان  $\text{CaO} > 4\% \text{Wt}$  و میزان  $\text{MnO} < 4\% \text{Wt}$  را گارنت‌های اولیه‌ای در نظر گرفته‌اند که از یک ماگمای شبه رخشان و نوع متبلور شده‌اند. بنابر عقیده‌ی آن‌ها گارنت‌های فقیر از کلسیم ( $\text{CaO} < 4\% \text{Wt}$ ) از یک ماگمای پرآلومینوس نوع متبلور می‌شوند. بر همین اساس در این پژوهش، تعدادی از نمونه‌های گارنت‌دار و بدون گارنت به صورت XRF آنالیز شدند و نوع ماگما مشخص شد. نتایج این آنالیز تأییدی بر نتایج قبلی بود و نشان داد که توده‌ی نفوذی دهنو از نوع شبه رخشان و آهکی-قلیایی است. همچنین نوع گرانیتوئیدهای منطقه از نوع I تشخیص داده شدند (شکل ۳).

## بررسی گارنت موجود در توده‌ی نفوذی و هاله‌ی دگرگونی

## مجاورتی آن در گرانیتوئیدهای منطقه

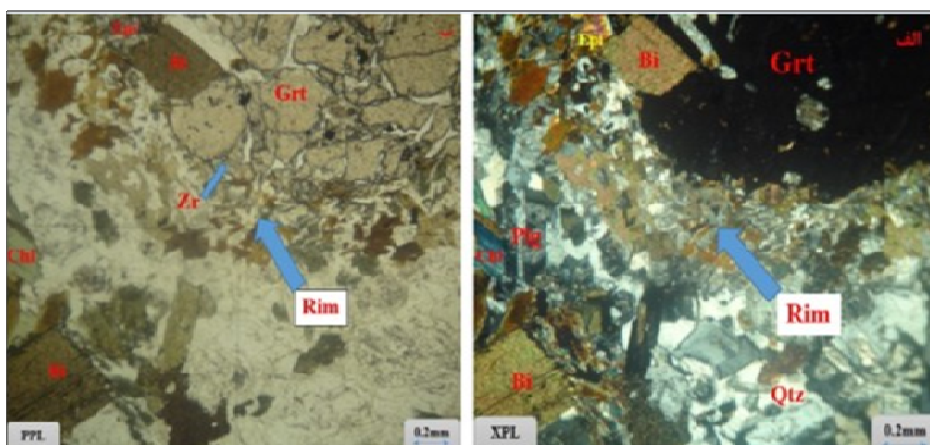
بلورهای گارنت موجود در گرانیتوئیدها در اندازه‌های ۱-۲ سانتیمتر، به رنگ قهوه‌ای و کاملاً شکل‌دارند. این بلورهای گارنت به مراتب درشت‌دانه‌تر از کانی‌های تشکیل‌دهنده‌ی گرانیت دربرگیرنده‌شان بوده و در نمونه دستی منطقه‌بندی نشان می‌دهند. در سنگ‌های گرانیتوئیدی منطقه، هیچ‌گونه زینولیت شیبستی گارنت‌داری به چشم نمی‌خورد، ولی بلورهای گارنت درون برخی از برونوم‌های ریز دانه‌ای حدواسط تا مافیک منطقه نیز مشاهده شده‌اند.

بررسی‌های میکروسکوپی سنگ‌های گرانیتوئیدی حاوی گارنت نشان داد که بلورهای گارنت شکل‌دار به قطر ۱۰-۲۰ میلیمتر هستند. در پیرامون گارنت‌ها معمولاً حاشیه‌ای ریز دانه دیده می‌شود که غالباً از کانی‌های پلاژیوکلاز، بیوتیت، هورنبلند و به مقدار کمتر کوارتز تشکیل شده است. بر اساس بررسی‌های سنگ‌نگاری، ترکیب حاشیه‌ی اطراف گارنت نسبت به ترکیب زمینه‌ی گرانیت مافیک‌تر است (تصویر ۳). این حاشیه نشان می‌دهد که ماگما با بلورهای گارنت به عنوان یک بلور بیگانه رفتار کرده‌اند.



شکل ۳ الف) منطقه‌بندی گرانیتوئیدهای منطقه [۲۵]، ب) نمودار تعیین سری ماگمایی بر اساس نمودار AFM [۲۶]،

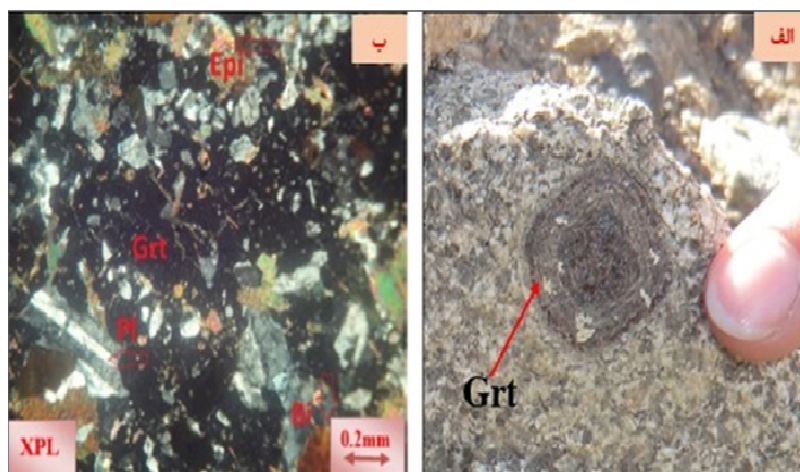
پ) تعیین نوع گرانیتوئیدهای منطقه [۲۷]، (گرانیتوئیدهای گارنت‌دار: ■، گرانیتوئیدهای بدون گارنت: ◆)



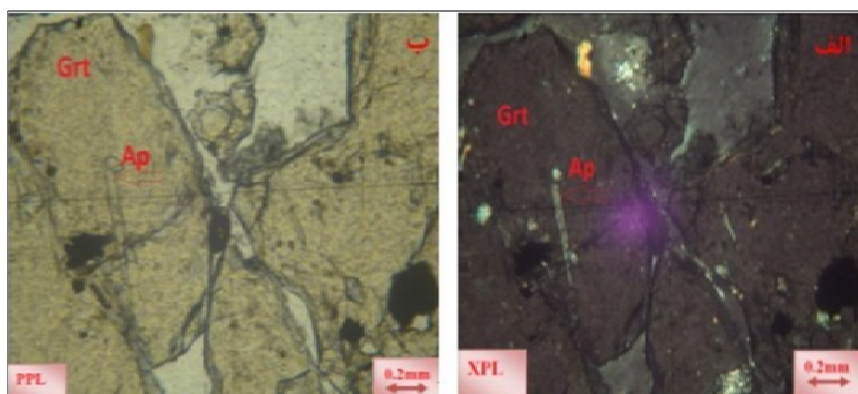
تصویر ۳ گارنت موجود در گرانیتوئیدها به همراه حاشیه‌ی ریز دانه متشکل از بیوتیت، هورنبلند اطراف آن، الف) در نور XPL، ب) در نور PPL.

میانبارها حدود ۲۰ تا ۳۰ درصد از حجم کانی را به خود اختصاص داده و به صورت دایره‌های هم مرکز درون بلور قرار گرفته‌اند. چگونگی قرار گیری این میانبارها موجب یک نوع منطقه‌بندی در نمونه‌دستی شده است.

میان بارهای موجود در این گارنت‌ها شامل بیوتیت، پلاژیوکلازهای ماکل‌دار، هورنبلند، آپاتیت، اپیدوت، زوئیزیت-کلینوزوئیزیت و به مقدار کمتر کوارتز و فلدسپار قلیایی بوده است که نشان‌دهنده‌ی فازهای آذرین هستند. (شکل ۴، ۵)



تصویر ۴ الف) منطقه بندی گارنت در نمونه دستی، ب) میانبارهای پلاژیوکلاز، بیوتیت و اپیدوت در گارنت XPL موجود در گرانیتوئید در نور .



تصویر ۵ آپاتیت موجود در گارنت الف) در نور XPL، ب) در نور PPL



## گارنت موجود در هورنفلس‌های منطقه

گارنت‌های درشت دانه با قطر حدود ۰/۵ سانتیمتر، کانی فراوان در هاله دگرگونی مجاورتی این منطقه هستند. گارنت موجود در هورنفلس‌ها نسبت به گارنت موجود در تونالیت‌ها ریزتر و با فراوانی بیشتری در مقاطع میکروسکوپی این گارنت‌ها به صورت شکل‌دار و با اندازه‌های ۳-۵ میلی‌متر دیده شدند. بیشتر این گارنت‌ها بدون میانبار و سالم هستند. برخی از این بلورهای گارنت دارای میانبارهایی از کوارتزدند که بیشتر در میان بلور تمرکز داشته و ۱-۵ درصد از حجم بلور را به خود اختصاص می‌دهند. این گارنت‌ها به وسیله بیوتیت و فیبرولیت احاطه شده‌اند (تصویر ۶).

## شیمی گارنت

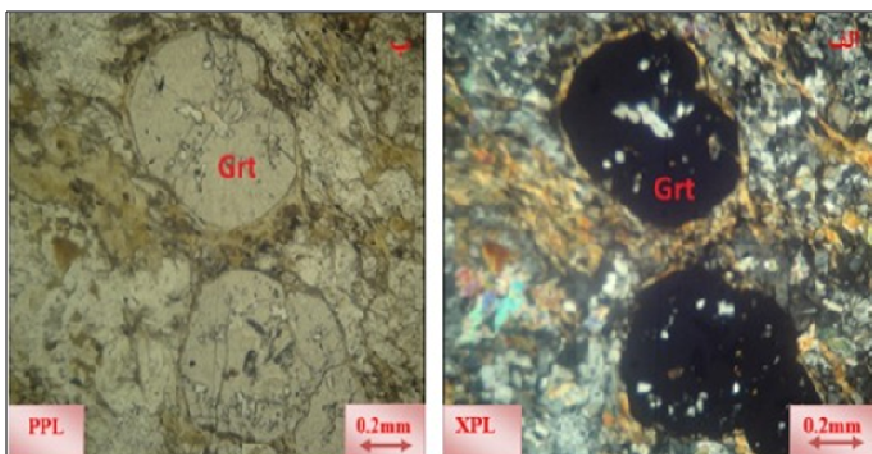
شیمی گارنت موجود در گرانیت‌ها نشان‌دهنده‌ی ترکیب میانگین  $\text{Alm}_{60.34} \text{Grs}_{18.63} \text{Prp}_{15.24} \text{Spess}_{5.63}$  بوده و میزان اعضای نهایی آن به صورت  $\text{Alm} > \text{Grs} > \text{Prp} > \text{Sps}$  است. این در حالی است که گارنت موجود در هورنفلس‌های منطقه با ترکیب میانگین  $\text{Alm}_{80.15} \text{Prp}_{9.58} \text{Sps}_{7.68} \text{Grs}_{2.59}$  آن به صورت  $\text{Alm} > \text{Prp} > \text{Sps} > \text{Grs}$  است. ترکیب غالب در هر دوی این گارنت‌ها، آلماندین است که نشان‌دهنده‌ی سرشت آهن‌دار بودن سنگ میزبان منطقه است. روند تغییرات اکسید عناصر اصلی و اعضای نهایی گارنت‌های موجود در گرانیتوئیدهای منطقه، با توجه به شکل ۴، با یکدیگر متفاوت بوده و نمی‌توان الگوی معینی برای آن‌ها تعریف کرد. چنانکه این نمودارها نشان می‌دهند در گارنت موجود در گرانیتوئیدها، میزان  $\text{CaO} > 4\% \text{Wt}$  و میزان  $\text{MnO} < 4\% \text{Wt}$  است. بالا بودن میزان کلسیم موجود در گارنت‌ها را می‌توان نتیجه‌ی تأثیر ماگمای کلسیک و مبادله‌های شیمیایی بین آن‌ها در نظر گرفت. در نمودارهای تغییرات اکسید عناصر اصلی و اعضای نهایی گارنت موجود در هورنفلس‌های منطقه، منطقه‌بندی شیمیایی مشاهده نمی‌شود که این می‌تواند ناشی از همگن‌سازی شیمیایی گارنت به دلیل بالا بودن دما باشد [۲۸] (شکل ۵).

## بحث و بررسی

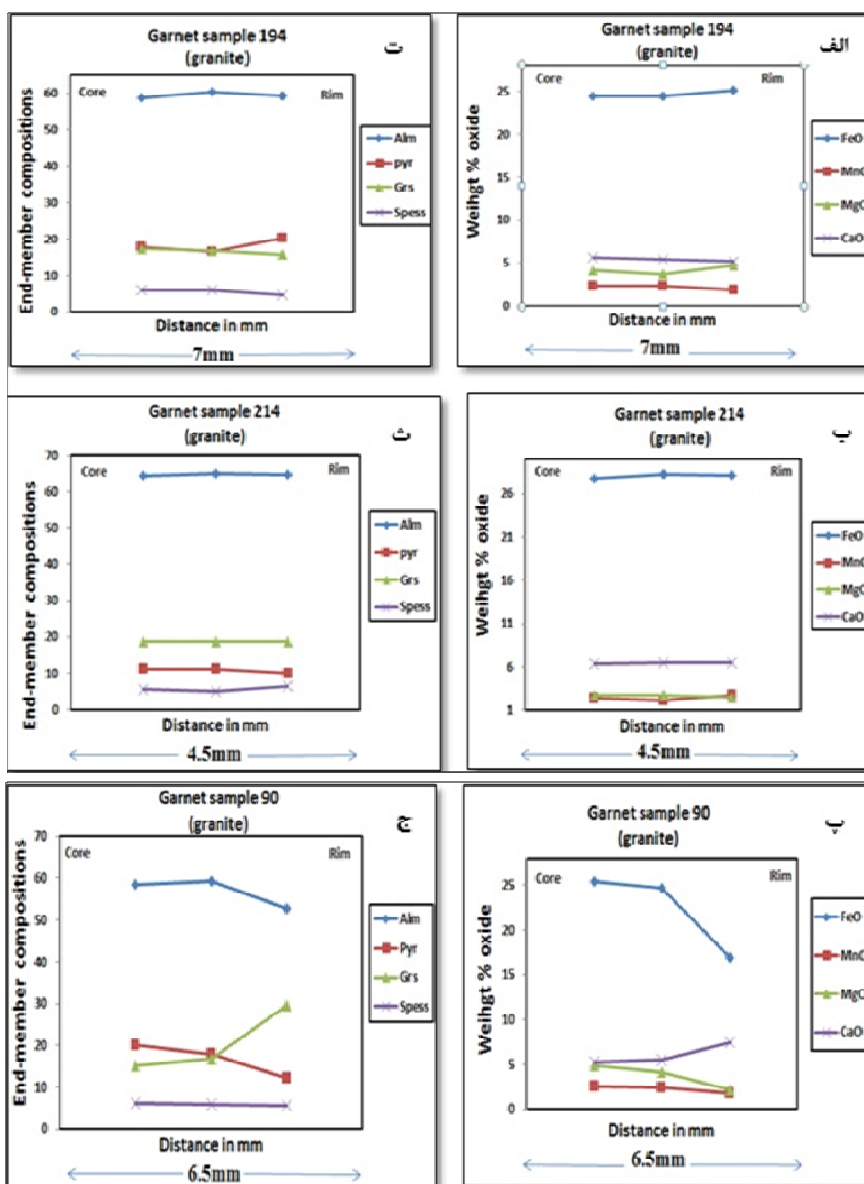
شاید بتوان فرض کرد که گارنت‌های موجود در توده‌ی نفوذی از نوع زینوکریست‌های دگرگون هستند. اساسی‌ترین تفاوت

میان گارنت‌های موجود در گرانیت‌ها و هورنفلس‌ها را می‌توان به نوع و میزان میانبارهای آن‌ها نسبت داد، به طوری که میانبارها در گارنت موجود در گرانیت‌ها شامل بیوتیت، پلاژیوکلاز، هورنبلند، اپیدوت و زوئیزیت-کلینوزوئیزیت‌های اولیه هستند که به صورت دایره‌ها هم مرکز درون بلور قرار گرفته‌اند، ولی میانبارها در گارنت موجود در هورنفلس‌ها از نوع کوارتز بوده و محدود به مرکز بلورند. علاوه بر این می‌توان به تفاوت شکل، اندازه و شیمی گارنت‌های موجود در گرانیت‌ها و هورنفلس‌ها نیز اشاره کرد. چنانکه گفته شد، ماگمای تشکیل دهنده‌ی سنگ‌های نفوذی منطقه از نوع شبه رخشان است و همانطور که نشان داده شد ماگمای شبه رخشان از آلومینیوم کافی برای تشکیل و پایداری گارنت برخوردار نیست. حاشیه واکنشی سرشار از بیوتیت و هورنبلند در اطراف این گارنت‌ها نشان می‌دهد که آن‌ها در تعادل با ماگمای میزبان‌شان نبوده و به وسیله‌ی فازهای فرومیزین ماگمای گرانیتی جایگزین شده‌اند. بنابراین گارنت‌ها یا در نتیجه‌ی آرایش ماگما با سنگ‌های دیواره حاصل شده‌اند یا یک کانی مقاوم بوده که به درون ماگما راه یافته است. وجود میانبارهای ریز دانه‌ای حدواسط تا مافیک در سنگ‌های نفوذی منطقه و نیز نمودارهای  $\text{Rb}$  نسبت به  $\text{Zr/Rb}$  و نمودار  $\text{Rb}$  نسبت به  $\text{Ba/Rb}$  بیانگر پدیده‌ی هضم و آرایش توده‌ی گرانیتوئیدی منطقه با پوسته بالایی هستند (شکل ۶). ارتباط مکانی توده‌ی نفوذی با سنگ‌های دگرگون، نیز به هضم سنگ‌های دیواره به وسیله‌ی ماگمای گرانیتی اشاره می‌کند.

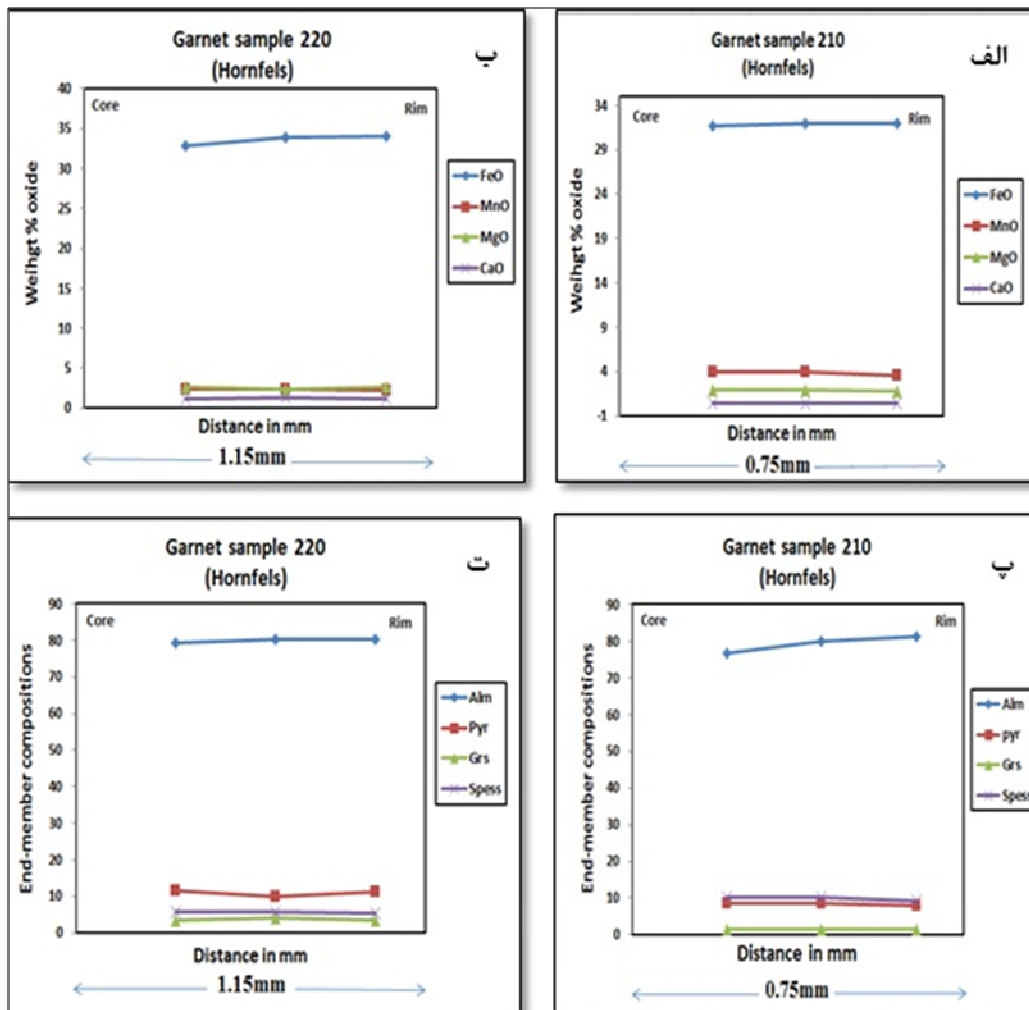
[۳۰] گارنت‌های موجود در باتولیت South Mountain Batholith جنوب Nova Scotia کانادا را به سه دسته تقسیم کرده و اصطلاح ارتوماگمایی را به بلورهایی نسبت داد که به طور مستقیم از ماگما متبلور شده‌اند و اصطلاح ارتوزینوکریست را برای بلورهای گارنتی به کار برد که از سنگ‌های میزبان جدا شده و به ماگمای گرانیتی پیوسته‌اند. همچنین برای بلورهایی که در آغاز در سنگ‌های میزبان وجود نداشته‌اند ولی فراورده‌ی های ذوب نامتجانس زینوکریست‌ها و زینولیت‌های مشتق شده از سنگ‌های دیواره هستند، اصطلاح پارازینوکریست (بلورهای پرتکتیک<sup>۱</sup>) را به کار برد.



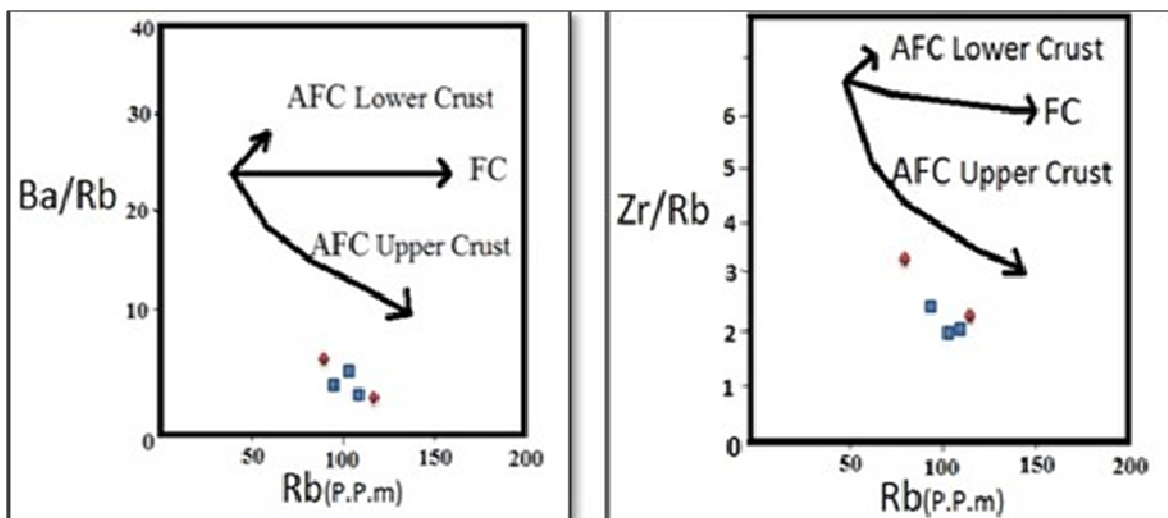
تصویر ۶ گارنت موجود در هورنفلس‌ها به همراه میانبرهای کوارتز، الف) در نور XPL، ب) در نور PPL.



شکل ۴ الف - پ) نمودار تغییرات اکسید عناصر اصلی، ت - ج) نمودار تغییرات اعضای نهایی گارنت‌های موجود در گرانیتوئیدهای مختلف.



شکل ۵ (الف، ب) نمودار تغییرات اکسید عناصر اصلی، پ، ت) نمودار تغییرات اعضای نهایی گارنت‌های موجود در هورنفلس‌های مختلف.



شکل ۶ تعیین نقش آلیش پوسته‌ای [۲۹]

گرانیتوئیدهای گارنت‌دار: ■ گرانیتوئیدهای بدون گارنت: ◆

بنابراین به نظر می‌رسد که نتوان گارنت‌هایی از نوع گارنت‌های موجود در شیست‌های گارنت‌دار را در منطقه دید.

وجود گارنت در برونوم‌های ریز دانه حدواسط تا مافیک منطقه می‌تواند بیانگر این مسئله باشد که بلورهای گارنت ممکن است طی تپ‌های قبلی ماگما که اکنون قابل رؤیت نیستند، نیز به وجود آمده باشند. برخی از آن‌ها نیز ممکن است به دنبال واکنش با ماگما به صورت بخشی دوباره جذب شده باشند.

عدم وجود زینولیت‌های شیستی می‌تواند نشان‌دهنده‌ی این باشد که (۱) این زینولیت‌ها به‌طور کامل هضم شده‌اند. (۲) زینولیت‌ها در بخش‌های عمیق توده‌های ماگمایی قبلی که اکنون قابل رؤیت نیستند، ته‌نشست پیدا شده‌اند.

#### برداشت

هورنبلند بیوتیت تونالیت تا گرانودیوریت مزوزوئیک رخنمون یافته در منطقه‌ی دهنو، دارای بافت دانه ای بوده و کانی‌های اصلی آن کوارتز، پلاژیوکلاز، ارتوز، بیوتیت و هورنبلند و کانی‌های فرعی آن زیرکن، آپاتیت، اسفن به همراه گارنت‌های پرتکتیک است. نتایج آنالیز شیمیایی XRF نشان داد که ماگمای تشکیل‌دهنده‌ی توده‌ی نفوذی منطقه از نوع شبه رخشان و آهکی - قلیایی و نوع I است که دستخوش پدیده‌ی هضم و آلیش با پوسته‌ی بالایی شده است.

تفاوت در نوع میانبارها و چگونگی قرارگیری آنها در بلورهای گارنت موجود در گرانیتوئیدها و هورنفلس‌ها نشان‌دهنده‌ی این است که بلورهای گارنت موجود در توده‌ی نفوذی را نمی‌توان بقایای هضم گارنت‌های موجود در سنگ‌های دگرگون منطقه در نظر گرفت. از طرفی ماگمای متاآلومینوس تشکیل‌دهنده‌ی توده‌ی نفوذی منطقه، آلومینوم، برای تشکیل و پایداری گارنت کافی نیست و حاشیه‌ی سرشار از بیوتیت و هورنبلند در اطراف گارنت نیز مدارکی برای ناپایداری گارنت درون این ماگما هستند. بنابراین تصور می‌شود که این گارنت‌ها نتیجه‌ی آلیش ماگما با سنگ‌های دیواره هستند. بلورهای گارنت را می‌توان بلورهای پرتکتیکی در نظر گرفت که در طی ذوب نامتجانس زینوکریست‌ها و زینولیت‌های مشتق شده از سنگ‌های دیواره، حاصل شده‌اند که در واقع پارازینوکریست‌هایی هستند که در آغاز در سنگ مادر وجود نداشته و

بلورهای پرتکتیک موجود در سنگ‌های آذرین زمانی به وجود می‌آیند که کانی‌های باقی مانده سنگ مادر یا زینولیت‌ها و زینوکریست‌های سنگ‌های دیواره به درون ماگمای در حال صعود راه یافته و دستخوش پدیده هضم و ذوب نامتجانس شوند. این بلورها شواهدی از اختلاط ماگمایی یا آلیش با سنگ‌های دیواره را نشان می‌دهند.

بلورهای پرتکتیک می‌توانند در نتیجه‌ی تغییرات در ترکیب شیمیایی، فشار، دما و یا واکنش‌های اکسایش - کاهش بنا بر واکنش نامتجانس زیر به وجود آیند [۳۱].

شماره ± بلورهای پرتکتیک ± گدازه‌ی ۲ → مذب ۱ ± بلور اولیه (جامد)

بلورهای پرتکتیک بافت و ترکیب مشابه با بلورهای ماگمایی اولیه داشته، در نتیجه تشخیص آن‌ها مشکل است، بنابراین کمتر گزارش شده‌اند.

به نظر می‌رسد که گارنت‌های درشت دانه‌ی مورد بررسی شباهت بیشتری با بلورهای پرتکتیک داشته باشند. گارنت‌های پرتکتیک میان‌بارهای فراوان داشته و یک الگوی حلقوی را برای میانبارها نشان می‌دهند که بیانگر منطقه‌های رشد هستند (تصویر ۴) [۳۲].

فراوانی میانبارها و نیز چگونگی قرارگیری آن‌ها در گارنت‌های منطقه‌ی مورد بررسی، نیز پرتکتیک بودن آن‌ها را تأیید می‌کنند. این چنین تصور می‌شود که آن‌ها محصول ذوب نامتجانس سنگ‌های دیواره باشند که در نتیجه‌ی گرمای حاصل از صعود ماگما، ذوب شده و بنا بر واکنش زیر به وجود آمده‌اند:

مذب + بلور پرتکتیک → مذب میزبان ± زینوکریست‌ها و زینولیت‌های مشتق شده از سنگ دیواره‌ی این بلورهای گارنت که در آغاز در سنگ میزبان وجود نداشته‌اند و طی ذوب زینولیت‌های مشتق شده از سنگ میزبان در هنگام اتصال به ماگمای گرانیته‌ی به وجود آمده‌اند، می‌توانند جزء گروه پارازینوکریست‌ها (بلورهای پرتکتیک) رده‌بندی شوند.

بنا بر تقسیم‌بندی [۳۰] هیچ‌گونه ارتوزینوکریستی در گرانیته‌های منطقه دیده نمی‌شود. با توجه به این که ممکن است فاکتورهایی همچون هضم، آلیش ماگما با سنگ‌های دیواره و واکنش‌های تبادل یونی به‌طور کامل شناخته نشوند؛



Geological Journal of China Universities 10 (2004) 364-377.

[9] Zhang J., Changqian Ma, C., She Z., "An Early Cretaceous garnet-bearing metaluminous A-type granite intrusion in the East Qinling Orogen, central China: Petrological, mineralogical and geochemical constraints", *Geoscience Frontiers* (2012) 1-12.

[10] Erdmann S., Clarke D. B., MacDonald M. A. "Origin of chemically zoned and unzoned cordierites from the South Mountain and Musquodoboit batholiths", *Transactions of the Royal Society of Edinburgh, Earth Sciences* 95 (2005) 99-110.

[11] Fourcade S., Capdevila R., Ouabadi A., Martineau F., "The origin and geodynamic significance of the Alpine cordierite-bearing granitoids of northern Algeria", A combined petrological, mineralogical, geochemical and isotopic (O, H, Sr, Nd) study. *Lithos* 57 (2001) 187-216.

[12] Gottesmann B., Forster H.-J., "Sekaninaite from the Satzung Granite (Erzgebirge, Germany); magmatic or xenolithic?", *European Journal of Mineralogy* 16 (2004) 483-491.

[13] Dahlquist J. A., Rapela C.W., Baldo E. G., "Petrogenesis of cordierite-bearing S-type granitoids in Sierra de Chepes, Famatinian orogen, Argentina", *Journal of South American Earth Sciences* 20 (2005) 231-251.

[14] Beard J. S., Ragland P. C., Crawford M. L., "Reactive bulk assimilation: A model for crust-mantle mixing in silicic magmas", *Geology* 33 (2005) 681-684.

[15] Stevens G., Villaros A., Moyen J.-F., "Selective peritectic garnet entrainment as the origin of geochemical diversity in S-type granites", *Geology* 35 (2007) 9-12.

[16] Plimer I. R., Moazzez-Lesco Z., "Garnet Xenocrysts in the Mashhad Granite, NE Iran", *Geologische Rundschau*, Bd. 89 (1980) 801-810.

[17] Samadi R., Mirnejad H., Kawabata H., Harris Ch., Valizadeh M.V., Gazel E., "Magmatic garnet in the Triassic (215 Ma) Dehnow pluton of NE Iran and its petrogenetic significance", *International Geology Review*, (2014).

[۱۸] طاهری ج.، قائمی ف.، نقشه ۱/۱۰۰۰۰۰ مشهد، سازمان زمین‌شناسی ایران، ۱۹۹۴.

محصولات جامد حاصل از ذوب نامتجانس آلوده‌کننده‌های ریشه گرفته از سنگ میزبان هستند.

#### قدردانی

این پروژه با حمایت مالی دانشگاه فردوسی مشهد در ارتباط با طرح پژوهشی شماره‌ی ۳/۲۳۸۵۴ مورخ ۱۳۹۱/۸/۱۶ انجام شد که بدینوسیله از حمایت معاونت پژوهشی دانشگاه صمیمانه سپاسگزاریم. از راهنمایی و یاری پروفیسور سوسکیا اردمان از مؤسسه‌ی (The National Center for Scientific CNRS Researches) پاریس فرانسه و نیز پروفیسور مایک دوریس از دانشگاه بریگهام یانگ امریکا برای پاسخگویی به سوالاتمان سپاسگزاریم.

#### مراجع

- [1] Deer W. A., Howie R. A., Zussman J., "An Introduction to the Rock forming Minerals", Second Longman ed. Longman, London (1992) 696pp.
- [2] Thöni M., Miller C., "Ordovician meta-pegmatite garnet (N-W Ötztal basement, Tyrol, Eastern Alps): preservation of magmatic garnet chemistry and Sm-Nd age during mylonitization", *Chemical Geology* 209 (2004) 1-26.
- [3] Miller C.F., Stoddard E.F., "The role of manganese in the paragenesis of magmatic garnet: an example from the Old Woman-Piute Range, California", *Journal of Geology* 89 (1981) 233-246.
- [4] Kebede T., Koeberl C., Koller F., "Magmatic evolution of the Suquii-Wagaa garnet-bearing two-mica granite, Wallagga area, western Ethiopia", *Journal of African Earth Sciences* 32 (2001) 193-221.
- [5] Chappell B.W., White A.J.R., "Two contrasting granite types", *Pacific Geology* 8 (1974) 173-174.
- [6] Clemens J.D., "S-type granitic magmas petrogenetic issues, models and evidence", *Earth-Science Reviews* 61(2003) 1-18.
- [7] Wu F.Y., Sun D.Y., Jahn B.M., Wilde S., "A Jurassic garnet-bearing granitic pluton from NE China showing tetrad REE patterns", *Journal of Asian Earth Sciences* 23 (2004) 731-744.
- [8] Yu J.H., Zhao L., Zhou X., "Mineralogical characteristics and origin of garnet-bearing I-type granitoids in southeastern Fujian province",

- [25] Shand S.J., "Eruptive rocks. Their genesis, composition, classification, and their relations to ore-deposits", Wiley, New York (1943) 444 pp.
- [26] Irvine T. N., Barager W. R. A., "A guide to the chemical classification of the common volcanic rocks", Canadian Journal of Earth Science, 8(1971) 235-458.
- [27] Chappell B. W., "Aluminium saturation in I- and S-type granites and the characterization of fractionated haplogranites", Lithos 46 (1999) 535-551.
- [28] Yardley B. W. D., "An empirical study of diffusion in garnet", American Mineralogist 62 (1977) 793-800.
- [29] Askren D.R., Roden M.F and Whitney J.A., "Petrogenesis of Tertiary Andesite Lava Flows Inter-layered with Large-Volume Felsic AshFlow Tuffs of the Western USA", Journal of Petrology, 38(1999) 1021-1046.
- [30] Erdmann S., "Country rock contamination and assimilation in the South Mountain Batholith", Unpublished Ph.D thesis, Dalhousie University, Halifax, Nova Scotia, (2006) 212 pp.
- [31] Erdmann S., Scaillet B., Kellett D.A., "Textures of peritectic crystals as guides to reactive minerals in magmatic systems: New insights from melting experiments", Journal of Petrology 11 (2013) 2231- 2258.
- [32] Doria M.J., Tubrett M., "Detecting pritectic garnet in the peraluminous cardigan pluton, New Hampshire", journal of petrology 53 (2012) 299-324.
- [۱۹] صمدی ر.، میرنژاد ح.، شیردشتزاده ن.، کاوایاتا ه.، کاربرد شیمی گارنت در بررسی‌های ترمودینامیکی توانلایت دهنو (شمال غرب مشهد)، مجله بلورشناسی و کانی‌شناسی ایران، شماره ۲ (۱۳۹۱) ص ۲۵۳ - ۲۶۴.
- [20] Karimpour M.H., Stern C.R., Farmer G.L., "Zircon u-pb geochronology, Sr-Nd isotope analyses and petrogenetic study of the Dehnow diorite and Kuhsangi granodiorite (paleo-Tethys), NE Iran", Journal of Asian Earth Sciences 37 (2010) 384-393.
- [21] Razavi M.H., Masoudi F., Alaminia Z., "Garnet-Biotite Chemistry for Thermometry of Staurolite Schist from South of Mashhad, NE Iran", Journal of Sciences, Islamic Republic of Iran 19(3) (2008) 237-245.
- [22] Karimpour M.H., Farmer L., Ashori C., Saadat S., "Major, Trace and REE geochemistry of Paleo-Tethys Collision-Related Granitoids from Mashhad, Iran", Journal of Science Islamic Republic of Iran, 17 (2006) 127-145.
- [23] Mirnejad H., Lalonde A.E., Obeid M., Hassanzadeh J., "Geochemistry and petrogenesis of Mashhad granitoids: An insight into the geodynamic history of the Paleo-Tethys in Northeast of Iran", Lithos v 170-171 (2013) 105-116.
- [24] Harangi S.Z., Downes H., Kosa L., Szabó C.S., Thirlwall M.F., Mason P.R.D., "Almandine garnet in calc-alkaline volcanic rocks of the Northern Pannonian Basin (Eastern-Central Europe), geochemistry, petrogenesis and geodynamic implications", Journal of Petrology, v 42 (2001) 1813-1843.